

颗粒气体团簇行为实验研究

王花 陈琼 王文广 厚美瑛

Experimental study of clustering behaviors in granular gases

Wang Hua Chen Qiong Wang Wen-Guang Hou Mei-Ying

引用信息 Citation: *Acta Physica Sinica*, 65, 014502 (2016) DOI: 10.7498/aps.65.014502

在线阅读 View online: <http://dx.doi.org/10.7498/aps.65.014502>

当期内容 View table of contents: <http://wulixb.iphy.ac.cn/CN/Y2016/V65/I1>

您可能感兴趣的其他文章

Articles you may be interested in

玻璃-橡胶混合颗粒的 ρ 烜 ρ 芯

Mechanical response study of glass-rubber particle mixtures

物理学报.2015, 64(15): 154502 <http://dx.doi.org/10.7498/aps.64.154502>

振动颗粒混合物中的周期性分聚现象与能量耗散

Energy dissipation and periodic segregation of vibrated binary granular mixtures

物理学报.2015, 64(13): 134503 <http://dx.doi.org/10.7498/aps.64.134503>

二维晶格颗粒堆积中侧壁的压力分布与转向系数

Lateral pressure distribution and steering coefficient in two-dimensional lattice pile of granular material

物理学报.2015, 64(13): 134502 <http://dx.doi.org/10.7498/aps.64.134502>

垂直振动激励下颗粒材料有效质量和耗散功率的研究

Dynamic effective mass and power dissipation of the granular material under vertical vibration

物理学报.2015, 64(4): 044501 <http://dx.doi.org/10.7498/aps.64.044501>

孤立波在一维复合颗粒链中传播特性的模拟研究

Simulation study on the propagation of solitary waves in a one-dimensional composite granular chain

物理学报.2014, 63(15): 154502 <http://dx.doi.org/10.7498/aps.63.154502>

ISSN 1000-3290

物理学报

Acta Physica Sinica

2016 年 第 65 卷 第 1 期

[Http://wulixb.iphy.ac.cn](http://wulixb.iphy.ac.cn)

中国物理学会
中国科学院物理研究所
Chinese Physical Society
Institute of Physics, CAS

物理学报

第 65 卷 第 1 期 2016 年 1 月

目 次

综述

- 010702 同步辐射中双压电片反射镜的研究现状 张瑶 汤善治 李明 王立超 高俊祥
010704 太赫兹片上系统和基于微纳结构的太赫兹超宽谱源的研究进展 左剑 张亮亮 巩辰 张存林
018102 层状二硫化钼研究进展 顾品超 张楷亮 冯玉林 王芳 苗银萍 韩叶梅 张韩霞

总论

- 010501 小管径气液两相流空隙率波传播的多尺度相关性 翟路生 金宁德
010502 考虑车与车互联互通技术的交通流跟驰模型 华雪东 王炜 王昊
010701 基于锑化铟亚波长阵列结构的太赫兹聚焦器件 谷文浩 常胜江 范飞 张选洲
010703 一种X射线聚焦光学及其在X射线通信中的应用 刘舵 强鹏飞 李林森 苏桐 盛立志 刘永安 赵宝升

电磁学、光学、声学、传热学、经典力学和流体动力学

- 014101 太赫兹波段Smith-Purcell辐射的介质加载光栅高频特性 曹苗苗 刘文鑫 王勇 朱觉远 李科
014201 基于界面信号的扫频光学相干层析成像系统相位矫正方法 潘聪 郭立 沈毅 严雪过 丁志华 李鹏
014202 部分相干刃型位错光束的谱Stokes奇点 郑尚彬 唐碧华 姜云海 罗亚梅 高曾辉
014203 低太阳高度角条件下的天空偏振模式模拟及大气折射影响研究 胡帅 高太长 李浩 程天际 刘磊 黄威 江诗阳
014204 厚样品三维叠层衍射成像的实验研究 潘安 张晓菲 王彬 赵青 史祎诗
014205 双光子失谐对慢光和光存储影响的实验研究 闫研 李淑静 田龙 王海
014206 基于模糊控制的自适应光学校正技术 刘章文 李正东 周志强 袁学文
014207 基于平行偏振光注入的1550 nm波段垂直腔表面发射激光器获取窄线宽光子微波的理论和实验研究 孙波 吴加贵 王顺天 吴正茂 夏光琼
014208 周期量级飞秒脉冲电场在非线性克尔介质中的传输 刘丹 洪伟毅 郭旗
014209 基于光参量变频与放大的高灵敏红外成像技术 张腾飞 杨晶 侯岩雪 王伟伟 赵巍 张景园 崔大复 彭钦军 许祖彦

- 014210** 基于MODTRAN模型使用被动傅里叶变换红外光谱技术对生物气溶胶的探测研究
..... 冯明春 徐亮 刘文清 刘建国 高闽光 魏秀丽
- 014211** Nd³⁺:SrY₂O₄粉体的制备、结构与光谱性能研究
..... 彭方 张庆礼 王小飞 张会丽 丁守军 刘文鹏 罗建乔 孙敦陆 孙贵花
- 014212** Cu, Fe掺杂LiNbO₃晶体电子结构和光学性质的第一性原理研究
..... 赵佰强 张耘 邱晓燕 王学维
- 014213** 基于磁流体光子晶体的可调谐近似零折射率研究
..... 耿滔 吴娜 董祥美 高秀敏
- 014214** 混合准周期异质结构的带隙补偿与展宽
..... 邹俊辉 张娟
- 014215** 疣腐蚀掺镁铌酸锂可调阵列光分束器的研究
..... 佟曼 范天伟 陈云琳
- 014301** 次Bjerknes力作用下气泡的体积振动和散射声场
..... 马艳 林书玉 鲜晓军
- 014302** 基于时反镜能量检测法的循环移位扩频水声通信
..... 杜鹏宇 殷敬伟 周焕玲 郭龙祥
- 014303** 深海海底斜坡环境下的声传播
..... 胡治国 李整林 张仁和 任云 秦继兴 何利
- 014304** 基于绝缘体上硅的一种改进的Mach-Zehnder声光调制器
..... 秦晨 余辉 叶乔波 卫欢 江晓清
- 014305** 基于等效参数反演的敷设声学覆盖层的水下圆柱壳体声散射研究
..... 金国梁 尹剑飞 温激鸿 温熙森
- 014501** 转子耦合摆系统的同步行为理论研究
..... 方潘 侯勇俊 张丽萍 杜明俊 张梦媛
- 014502** 颗粒气体团簇行为实验研究
..... 王花 陈琼 王文广 厚美瑛
- 014701** 变系数瞬态热传导问题边界元格式的特征正交分解降阶方法
..... 胡金秀 高效伟
- 014702** 多孔介质中流体流动及扩散的耦合格子Boltzmann模型
..... 刘高洁 郭照立 施保昌
- 014703** 过渡区微尺度流动的有效黏性多松弛系数格子Boltzmann模拟
..... 王佐 刘雁 张家忠
- 014704** 基于高速摄像实验的开放腔体圆柱壳入水空泡流动研究
..... 路中磊 魏英杰 王聪 孙钊

气体、等离子体和放电物理

- 015201** 太赫兹波段石墨烯等离子体的增益特性
..... 李丹 刘勇 王怀兴 肖龙胜 凌福日 姚建铨
- 015202** 低密度泡沫金提升黑腔腔壁再发射率的实验研究
..... 张璐 董云松 景龙飞 林雉伟 谭秀兰
况龙钰 黎航 尚万里 张文海 李志超 詹夏宇 袁光辉 李海 江少恩 杨家敏 丁永坤
- 015203** 真空中铝单丝电爆炸的实验研究 ...
..... 王坤 史宗谦 石元杰 白骏 李阳 武子骞 邱爱慈 贾申利

凝聚物质:结构、力学和热学性质

- 016101** 含单排线缺陷锯齿型石墨烯纳米带的电磁性质
..... 张华林 孙琳 王鼎
- 016801** 固体表面液滴铺展与润湿接触线的移动分析
..... 焦云龙 刘小君 逢明华 刘焜
- 016802** 掺Fe高阻GaN缓冲层特性及其对AlGaN/GaN高电子迁移率晶体管器件的影响研究
..... 王凯 邢艳辉 韩军 赵康康 郭立建 于保宁 邓旭光 范亚明 张宝顺

凝聚物质:电子结构、电学、磁学和光学性质

- 017401 硼膜制备工艺、微观结构及其在硼化镁超导约瑟夫森结中的应用
..... 王松 王星云 周章渝 杨发顺 杨健 傅兴华

物理学交叉学科及有关科学技术领域

- 018101 基于石墨烯互补超表面的可调谐太赫兹吸波体
..... 张会云 黄晓燕 陈琦 丁春峰 李彤彤 吕欢欢 徐世林 张晓 张玉萍 姚建铨
- 018103 涂覆聚甲基丙酸甲酯的磁性膜外磁场作用下的往复滑动摩擦行为研究
..... 李绿洲 蒋继乐 卫荣汉 李俊鹏 田煜 丁建宁
- 018201 B, P单掺杂和共掺杂石墨烯对O, O₂, OH和OOH吸附特性的密度泛函研究
..... 孙建平 周科良 梁晓东
- 018501 (100) Si基应变p型金属氧化物半导体[110]晶向电导率有效质量双椭球模型
..... 宋建军 包文涛 张静 唐昭焕 谭开洲 崔伟 胡辉勇 张鹤鸣
- 018502 超小型条纹管的动态特性研究 惠丹丹 田进寿 王俊锋 卢裕 温文龙 徐向晏

颗粒气体团簇行为实验研究*

王花¹⁾²⁾ 陈琼²⁾ 王文广²⁾ 厚美瑛^{2)†}

1)(北京理工大学物理学院, 北京 100081)

2)(中国科学院物理研究所, 软物质物理重点实验室, 北京凝聚态物理国家实验室, 北京 100190)

(2015年6月29日收到; 2015年9月27日收到修改稿)

颗粒体系由于非弹性碰撞和摩擦等内秉的能量耗散特性, 由宏观粒子形成的颗粒气体体系经常会有局部凝聚现象, 这是颗粒气体体系与分子气体体系的最大区别之一。理解和预测这一现象的发生将有助于人们对远离平衡态体系的复杂现象, 如有序结构、斑图和团簇形成的认知。这种局部凝聚现象可以类比于分子气体中亚稳分解形成的液滴, 将气液相分离用于解释和寻求局部凝聚现象的此模型得到了分子动力学模拟的校验。但是实验的校验却由于宏观粒子运动受重力作用的影响难以在实验室中实现。作为实践十号卫星的前期实验, 本文利用国家微重力实验室落塔装置, 以水平激振装有不同尺寸和数目的颗粒样品, 在短时微重力条件下, 成功观察到颗粒气体团簇的形成; 并将实验结果与颗粒气体类范德瓦耳斯气体分子相分离模型对比, 由形成团簇样品的颗粒数密度条件, 来实验确定了所选颗粒的恢复系数, 得到直径为0.5 mm的钛珠颗粒的恢复系数在0.6—0.8之间, 直径为1 mm的钛珠颗粒的恢复系数约为0.8, 直径为2.5 mm的钛珠颗粒的恢复系数应大于0.8。

关键词: 颗粒气体, 微重力, 团簇, 落塔

PACS: 45.70.-n, 45.70.Mg

DOI: 10.7498/aps.65.014502

1 引言

颗粒物质在自然界、日常生活以及农业和工业生产过程中都普遍存在, 与人类的生存和生活环境息息相关^[1]。不同外力条件作用下, 颗粒物质能表现出类似于固体、液体及气体的特性^[2]。当体系中颗粒分布较为均匀, 能够快速运动而且颗粒运动的平均自由程相对于其尺寸大很多, 颗粒之间的相互作用以二体碰撞为主时, 该颗粒体系被称为“颗粒气体”体系^[3]。颗粒气体不仅能够表现出普通气体所具有的性质, 还能够产生一些更为有趣的动力学行为, 如颗粒体系的自由冷却现象^[4]、麦克斯韦妖现象等。

在颗粒系统中, 颗粒之间以接触摩擦和非弹性碰撞为主要相互作用, 即颗粒系统是具有耗散的非

平衡系统。对此类系统的研究需要借助外界驱动来提供能量以平衡体系内部的能量损耗^[5]。即若无外界驱动力的存在, 在非弹性碰撞的作用下, 颗粒体系的动能会不断转化成热能, 出现自由冷却现象^[6]。对于稳态颗粒气体体系, 密度的涨落也会破坏体系的均匀分布, 从而导致某个局部的数密度偶然增加, 使得该处颗粒之间的碰撞概率增大, 局部的能量损耗变得严重。如果瞬时“热扰动”不足以阻止这种趋势, 局部的高密度聚集就会形成, 使得颗粒气体体系发生局部的凝聚现象, 类似于气体中形成的液滴。我们可以将之类比于真实气液相变行为, 认为这就是颗粒气体中的亚稳分解现象, 颗粒气体经过此过程最终形成低密度区域(气相)和高密度区域(液相)共存的不均匀状态。这种凝聚现象被称为颗粒“团簇”。对于整个颗粒体系, 团簇在一

* 中国科学院空间科学战略性先导科技专项(批准号: XDA04020200)、国家自然科学基金(批准号: 11274354, 11474326) 和地震行业科研经费(批准号: 201208011)资助的课题。

† 通信作者。E-mail: mayhou@iphy.ac.cn

起的颗粒就像是真实气体在液化过程中所形成的液滴^[7]. 颗粒气体从稀疏的均匀分布状态变化到局部团簇的状态, 称为颗粒体系的类气-液相变.

在过去数年中对于颗粒气体的这种相分离现象的理论研究, 类比于普通气体和液体的分析方法, 通过建立颗粒的流体力学方程, 结合范德瓦耳斯方程, 可以得到二维体系临界点附近的相分离行为^[8,9] 和不同边界条件下发生相分离的条件、不稳定性根源及相分离形貌^[10–13]. 我们将二维模型推广到三维体系^[14–17], 得到三维体系的相分离发生的具体条件, 并通过分子动力学模拟检验了理论模型的结果, 发现了更为丰富的相分离现象. 但是由于相分离现象考虑的颗粒气体团簇的形成必须在零重力条件下实现, 而实验室条件下无法实现零重力环境, 这使得本文所述的微重力落塔实验对颗粒气体团簇行为的验证变得尤为重要. 首次颗粒气体相分离微重力实验预计将在 2016 年的实践十号科学卫星上实现^[18]. 本文主要介绍我们在落塔短时微重力环境中的预实验. 实验中成功地观察到了相分离现象, 并和理论模型所获得的相图对比, 得到了所用钛颗粒的恢复系数值: 直径为 0.5 mm 的钛珠颗粒的恢复系数在 0.6—0.8 之间, 直径为 1 mm 的钛珠颗粒的恢复系数约为 0.8, 直径为 2.5 mm 的

钛珠颗粒的恢复系数应大于 0.8.

2 落塔实验

2.1 实验装置

相对于其他实现微重力的实验方法(比如抛物线飞机失重实验、水浮法、气悬浮法等), 落塔实验具有精度高、稳定性好、可重复实验等优点^[19], 其缺点是只能实现短时微重力. 世界上多个国家拥有落塔实验设施, 欧洲比较典型的是著名的德国布莱梅大学应用空间技术与微重力中心的 Bremen 落塔, 塔高 146 m, 试件从 110 m 的高处定位平台自由下落, 可以获得 4.74 s 的微重力时间, 微重力水平可达到 $10^{-9}g$ (其中 g 为重力加速度), 近几年来 Bremen 落塔实现了上抛试件的方案, 在底基下安装发射管, 可将载荷物件发送至塔顶, 改善后的落塔可以实现 9.6 s 的微重力时间, 吸引了各国科学家参与利用该落塔进行微重力实验研究^[20].

中国国家微重力实验室(NMLC)落塔自由落体设施高位 116 m, 试件从 83 m 处自由落下, 可获得 3.6 s 的微重力时间, 微重力水平为 $10^{-3}g$, 是目前国内最高且获得微重力时间最长的落塔^[21]. 落塔外观、落舱及实验装置如图 1 所示.



图 1 (a) 落塔外观; (b) 落舱; (c) 实验装置

Fig. 1. (a) The appearance of the drop tower; (b) falling module; (c) the setup.

颗粒样品仓示意图见图 2. 五个相同深度和宽度、不同长度的样品仓位于一水平振动的直线电机平台上. 这样单次落塔实验我们可以测试 5 组不同

的仓体积和颗粒参数下的颗粒相分离情况. 五组样品仓的宽度和深度相同, 宽为 50 mm, 深 10 mm, 长度分别为 150, 120, 100, 50 和 30 mm.

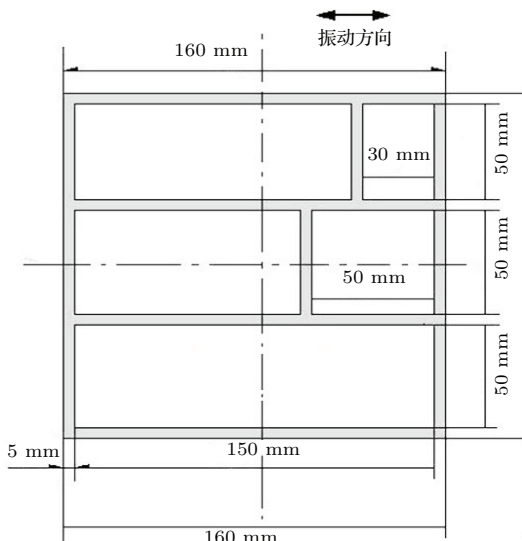


图2 单仓样品盒尺寸图 (mm), 样品盒深度 10 mm

Fig. 2. A sketch of the single cell.

为了解决颗粒之间碰撞或颗粒与容器壁碰撞所产生的静电问题, 样品盒内壁黏贴铜膜, 盒子底面采用透明导电玻璃, 以便得到清晰的实验图像。样品盒固定在直线电机(振幅 13 mm, 频率 5 Hz)上, 相机位于样品盒正上方, 拍摄颗粒在各仓中的分布情况。采光由样品盒与电机之间插入的平面灯提供以保证光照均匀。

2.2 实验过程

搭载的实验装置需要与地面模拟设备连接并检测、调试其工作状态, 当确定实验装置工作状态正常后, 遥控位于高处的两条平行铁轨之间的提升系统将舱盖悬挂并扣在搭载的实验装置上完成装舱过程, 舱盖需完全罩住实验装置并固定好, 然

后将落舱整体悬挂并调整落舱质心。继续遥控提升系统将落舱安置在推车上, 至此实验前准备工作完成。接着用推车将落舱运到井口, 落舱顶部与吸合-提升-释放分系统对接并拉升到 83 m 释放平台, 由中央控制中心检测并确定每个实验步骤正常并最终发出释放落舱的指令, 约 3.6 s 后落舱进入回收网并转入回收阶段, 落舱与回收网一起慢速下滑直至速度逐渐衰减为零, 调整回收网与落舱分离, 再次将吸合-提升-释放分系统与落舱顶部对接并将其拉升至井口装入推车, 打开落舱与分系统的对接, 由推车将落舱运出, 至此实验结束。在落塔下降的 3.6 s 中, 颗粒均处于失重状态, 相机记录下颗粒体系运动的整个过程, 可以通过电荷耦合器件监视信号将录像传送出来。

2.3 实验结果

由实验图像可以看出, 下落开始即颗粒进入微重力环境后, 颗粒迅速处于失重漂浮状态。在电机振动驱动下, 颗粒与容器壁碰撞获得速度, 这些高速运动的颗粒再通过碰撞将速度传递给其他颗粒, 通过颗粒-颗粒相互碰撞, 在一定实验条件下, 我们可以观察到团簇在仓中间形成。如图3和图4所示, 直径为 2.5 mm 的钛颗粒盒子长度和颗粒数目 (L_x, N) 为 (150, 500) 和 (120, 300) 时, 颗粒体系出现团簇行为, 其他为颗粒气体状态; 对于直径为 1 mm 的钛颗粒, 当盒子长度和颗粒数目 (L_x, N) 为 (150, 2600), (100, 1600) 和 (50, 2000) 时, 颗粒体系出现团簇; 对于直径为 0.5 mm 的钛颗粒, 当盒子长度和颗粒数目 (L_x, N) 为 (30, 9000) 时, 颗粒表现为密集的颗粒液体状态。

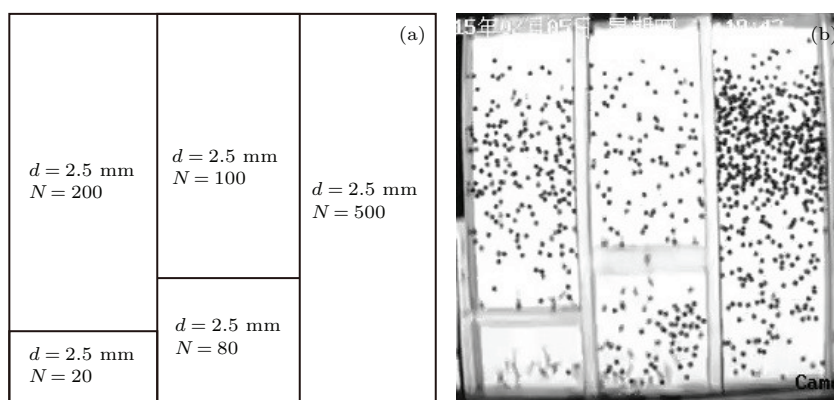


图3 (a) 各个盒子中所装颗粒尺寸及颗粒数目; (b) 实验现象

Fig. 3. (a) Numbers and sizes of particles in each cell; (b) the experimental observation.

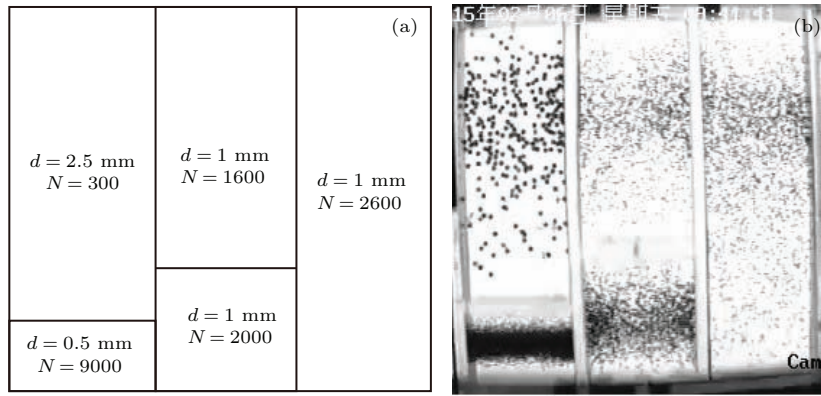


图 4 (a) 各个盒子中所装颗粒尺寸及颗粒数目; (b) 实验现象

Fig. 4. (a) Numbers and sizes of particles in each cell; (b) the experimental observation.

3 基本模型

将发生非弹性碰撞的宏观颗粒考虑为类范德瓦耳斯分子, N 个直径为 d 、质量 $m = 1$ 的硬球颗粒放置于体积为 $V = L_x \times L_y \times L_z$ 的封闭矩形容器里。颗粒的速度由与容器 L_x 方向一端的振动边壁碰撞获得。为简单起见, 假设颗粒与容器壁之间的碰撞为完全弹性碰撞, 颗粒与颗粒之间碰撞为非弹性碰撞。在无重力的条件下, 若仅考虑颗粒之间的法向非弹性碰撞, 定义法向恢复系数 e , 当 $1 - e \ll 1$ 时, 可以用流体力学方程来描述^[22,23]。即当体系的能量损耗与能量注入达到平衡时, 体系处于稳定状态, 其动量与能量满足方程

$$p = nT(1 + 4G), \quad (1)$$

$$\nabla \cdot [\kappa \nabla T(\mathbf{r})] = I, \quad (2)$$

其中, \mathbf{r} 是空间坐标矢量, p 是颗粒气体压强, T 为颗粒气体温度, 颗粒系统的体积分数 $v = \pi d^3 n / 6$ 。可以通过 Enskog 近似方法得到热输运系数和能量耗散项为

$$\kappa = \frac{4dnT^{1/2}G}{\sqrt{\pi}} \left[1 + \frac{9\pi}{32} \left(1 + \frac{5}{12G} \right)^2 \right], \quad (3)$$

$$I = \frac{24(1-e)nT^{3/2}G}{\sqrt{\pi}d}, \quad (4)$$

$$G(v) = \frac{v(1-v/2)}{(1-v)^3}, \quad (5)$$

其中, κ 为热传输系数, I 为能量耗散项, G 为与体积分数有关的常数。方程无量纲化以后, 能量耗散项具有常系数

$$\eta = \frac{\pi}{3}(1-e^2) \left(\frac{L_x}{d} \right)^2 \quad (6)$$

是一个表征体系能量耗散性能的参量, 为颗粒恢复系数、尺寸和体系体积的函数。

此外, 根据体系中颗粒数目守恒的条件, 可得到无量纲化的平均颗粒数密度

$$f = N / (n_c V), \quad (7)$$

其中 $n_c = \sqrt{2}/d^3$ 是密堆积的粒子数密度。

给定不同的 η 和 f , 可以通过方程(1)和(2)求解体系的横向均匀稳定解及相应的约化颗粒气体压强 $P = p/(n_c T_0)$ 。当 η 取某一个确定值, 对应不同的 f , 可以计算得到 $p-f$ 曲线。在气液相变的范德瓦耳斯理论中, 体系处于亚稳分解状态时, 对应的就是 $p-f$ (压强-体积) 曲线上负压缩部分, 即 $\partial P/\partial V > 0$ 的部分, 此反常下降区域类似于气液相变的所谓负压缩区域, 对应于颗粒气体发生亚稳分解并产生相分离的区域, 因此颗粒气体的相分离可以归结为一种与气液相变相似的负压缩不稳定性。采用这样的方法我们可以确定颗粒气体相图的两相共存边界及亚稳分解边界。

由于实验中以改变 L_x 来改变体系体积, 从而改变 f , 因此我们将解得的 η 和 f 相分离曲线改为以颗粒数 N 和 L_x 为轴的相图。图 5—图 7 分别给出了计算所得到的 d 为 2.5, 1.0 和 0.5 mm 颗粒亚稳分解边界。给定颗粒尺寸和碰撞恢复系数, 理论计算得到的两条分界线将体系中颗粒的状态分为气态、气液共存态和液态。其中下部曲线以下的区域为颗粒气态, 两条分界线中间的部分是颗粒气液共存态即有团簇形成的区域, 上曲线以上表示体系为颗粒液态。

图3和图4为不同实验参数下所观察到的颗粒团簇现象, 将之以五角星标示于图5—图7的 N - L_x 相图中, 其中蓝色实心(红色空心)五角星表示实验观察到团簇(无团簇). 图5是颗粒直径为2.5 mm时的理论计算结果, 实验与理论对比可以看出, 2.5 mm钛颗粒的恢复系数大于0.8. 图6是颗粒直径为1 mm时的理论计算结果, 对比理论计算结果, 可得出直径为1 mm的钛颗粒的恢复系数约为0.8. 图7是颗粒直径为0.5 mm时的理论计算结果, 对比可发现钛颗粒的恢复系数值在0.6—0.8之间. 从以上分析可以看出, 恢复系数值随颗粒尺寸的增大而增大.

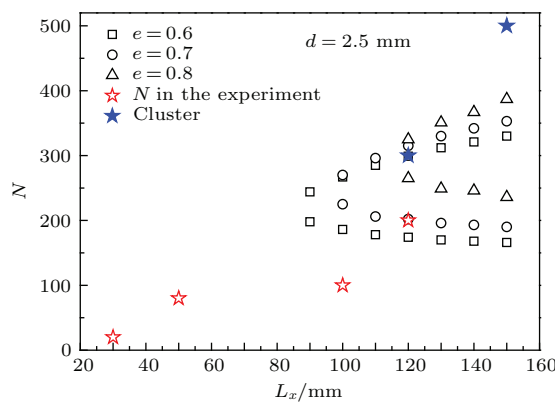


图5 (网刊彩色) 直径为2.5 mm时不同恢复系数下对应的团簇形成区域相图

Fig. 5. (color online) The (N , L_x) phase diagrams of clustering regime for different particle coefficients of restitution. Particle diameter is 2.5 mm. Stars are the observation locations. Hollow star means no clustering. Solid star means cluster being observed.

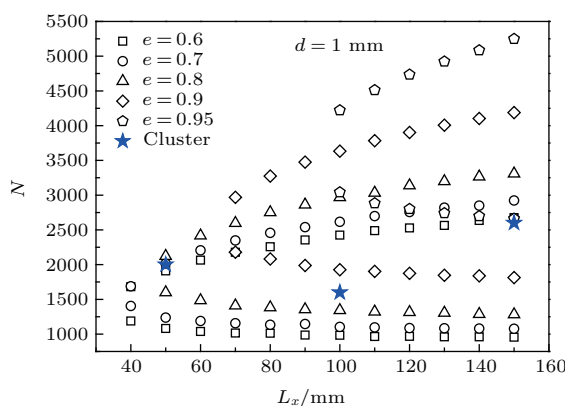


图6 (网刊彩色) 直径为1 mm时不同恢复系数下对应的团簇形成区域相图

Fig. 6. (color online) The (N , L_x) phase diagrams of clustering regime for different particle coefficients of restitution. Particle diameter is 1.0 mm. Stars are the observation locations. Hollow star means no clustering. Solid star means cluster being observed.

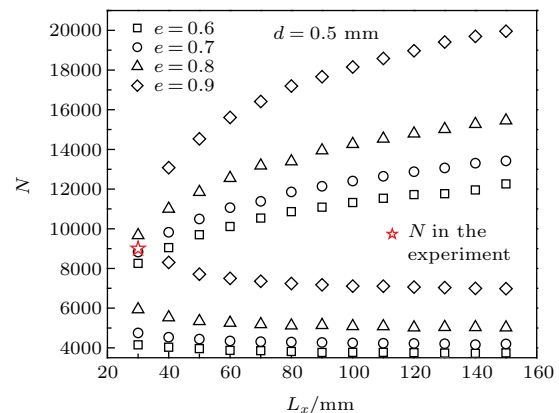


图7 (网刊彩色) 直径为0.5 mm时不同恢复系数下对应的团簇形成区域相图

Fig. 7. (color online) The (N , L_x) phase diagrams of clustering regime for different particle coefficients of restitution. Particle diameter is 0.5 mm. Stars are the observation locations. Hollow star means no clustering. Solid star means cluster being observed.

4 结 论

颗粒体系的耗散性质会导致颗粒气体体系内部出现局部的团簇行为, 这一现象只停留于理论计算分析与分子动力学模拟的层面上, 而从未被真实地观察到, 本文通过落塔实验成功观察到微重力环境下颗粒气体团簇现象, 并针对实验可测参数 N - L_x 用类范德瓦耳斯相分离模型预测两相共存(团簇)区域, 我们将实验观察到团簇的 N - L_x 值与理论计算结果进行比对, 间接获得了十分有用的钛颗粒的恢复系数值(直径为2.5 mm的钛颗粒恢复系数大于0.8, 直径为1 mm的钛颗粒恢复系数为0.8, 直径为0.5 mm的钛颗粒恢复系数在0.6—0.8之间). 这对于进一步精确确定相分离分界线提供了重要的参数值, 也为实现在零重力环境下颗粒气液两相分离实验奠定了基础.

感谢中国科学院力学研究所解京昌老师和林海老师对实验过程的帮助, 感谢中国科学院物理研究所刘锐老师对本文理论计算的指导.

参考文献

- [1] Sun Q C, Wang G Q 2009 *Introduction to Granular Material Mechanics* (Beijing: Science Press) p73 (in Chinese) [孙其诚, 王光谦 2009 颗粒物质力学导论 (北京: 科学出版社) 第73页]
- [2] Jaeger H M, Nagel S R 1996 *Rev. Mod. Phys.* **68** 1259
- [3] Campbell C S 1990 *Ann. Rev. Fluid Mech.* **22** 57

- [4] Grasselli Y, Bossis G, Goutallier G 2009 *Europhys. Lett.* **86** 60007
- [5] Aranson I S, Tsimring L S 2006 *Rev. Mod. Phys.* **78** 641
- [6] Pöschel T, Schwager T 2005 *Computational Granular Dynamics: Models and Algorithms* (Berlin: Springer)
- [7] McNamara S, Young W R 1994 *Phys. Rev. E* **50** 28
- [8] Argentina M, Clerc M G, Soto R 2002 *Phys. Rev. Lett.* **89** 044301
- [9] Cartes C, Clerc M G, Soto R 2004 *Phys. Rev. E* **70** 031302
- [10] Khain E, Meerson B 2002 *Phys. Rev. E* **66** 021306
- [11] Khain E, Meerson B, Sasorov P V 2004 *Phys. Rev. E* **70** 051310
- [12] Livne E, Meerson B, Sasorov P V 2002 *Phys. Rev. E* **66** 050301(R)
- [13] Diez-Minguito M, Meerson B 2007 *Phys. Rev. E* **75** 011304
- [14] Hou M Y 2008 *Chin. J. Space Sci.* **28** 1 (in Chinese) [厚美瑛 2008 空间科学学报 **28** 1]
- [15] Hou M Y 2008 *Physics* **37** 729 (in Chinese) [厚美瑛 2008 物理 **37** 729]
- [16] Liu R, Li Y C, Hou M Y 2008 *Acta Phys. Sin.* **57** 4660 (in Chinese) [刘锐, 李寅闯, 厚美瑛 2008 物理学报 **57** 4660]
- [17] Liu R, Li Y C, Hou M Y, Meerson B 2007 *Phys. Rev. E* **75** 061304
- [18] Hu W R, Zhao J F, Long M et al. 2014 *Microgravity Sci. Technol.* **26** 159
- [19] Qi N M, Zhang W H, Gao J Z, Huo M Y 2011 *China Academic Journal Electronic Publishing House* **29** 95 (in Chinese) [齐乃明, 张文辉, 高九州, 霍明英 2011 中国学术期刊电子出版社 **29** 95]
- [20] Jenkins J T, Richman M W 1985 *Arch. Rat. Mech. Anal.* **87** 355
- [21] Wei M, Wan S X, Yao K Z, Xie J C 2007 *China Academic Journal Electronic Publishing House* **4** 1 (in Chinese) [韦明, 万士昕, 姚康庄, 谢京昌 2007 中国学术期刊电子出版社 **4** 1]
- [22] Brey J J, Dufty J W, Kim C S 1998 *Phys. Rev. E* **58** 4638
- [23] Carnahan N F, Starling K E 1969 *J. Chem. Phys.* **51** 635

Experimental study of clustering behaviors in granular gases*

Wang Hua¹⁾²⁾ Chen Qiong²⁾ Wang Wen-Guang²⁾ Hou Mei-Ying^{2)†}

1) (*School of Physics, Beijing Institute of Technology, Beijing 100081, China*)

2) (*Key Laboratory of Soft Matter Physics, Beijing National Laboratory for Condense Matter Physics, Institute of Physics,
Chinese Academy of Sciences, Beijing 100190, China*)

(Received 29 June 2015; revised manuscript received 27 September 2015)

Abstract

Granular materials are widely spread in nature and in industry. Owing to the inelastic collisions between particles and frictions among particles, granular systems are dissipative in nature. This intrinsic dissipative nature causes local clustering in granular gas systems. This is a unique phenomenon compared with the molecular gases. Understanding and predicting the condition and parameter values when this phenomenon happens will be helpful for us to gain knowledge of the conditions of clustering or pattern formations in non-equilibrium complex systems. The clustering phenomenon in granular gas is analyzed using phase-separation modeling of van der Waals-like molecules. The results from the model are verified by molecular dynamics numerical simulations. However, due to the influence of the gravity, experimental verification is difficult in laboratory. In this work, we perform an experiment in micro-gravity environment provided by the drop tower of National Microgravity Laboratory Chinese Academy of Science. In the experiment we for the first time observe the phase-separation clustering phenomenon. Comparing the observation condition with the model prediction, we are able to indirectly obtain the restitution coefficients of particles used in the experiment. A model calculation for the spinodal regime under experimental conditions is performed for possible particle restitution coefficients, and a comparison with the experimental observation allows us to justify the values of the restitution coefficients. It is found that the coefficient is larger for bigger particles. For $d = 2.5$ mm titanium particles, the restitution coefficient is higher than 0.8; for $d = 1$ mm titanium particles, the restitution coefficient is about 0.8, and for $d = 0.5$ mm titanium particles, the restitution coefficient is between 0.6 and 0.8. This useful result can be essential for comparing experimental observation with the theoretical and the numerical results, and is crucial to the success in the SJ-10 satellite experiments.

Keywords: granular gases, low-gravity, cluster, drop tower

PACS: 45.70.-n, 45.70.Mg

DOI: 10.7498/aps.65.014502

* Project supported by the “Strategic Priority Research Program-SJ-10” of the Chinese Academy of Sciences (Grant No. XDA04020200), the National Natural Science Foundation of China (Grant Nos. 11274354, 11474326), and the Special Fund for Earthquake Research of China (Grant No. 201208011).

† Corresponding author. E-mail: mayhou@iphy.ac.cn

ACTA PHYSICA SINICA

Vol. 65, No. 1, January 2016

CONTENTS

REVIEW

- 010702 Present research status of piezoelectric bimorph mirrors in synchrotron radiation sources
Zhang Yao Tang Shan-Zhi Li Ming Wang Li-Chao Gao Jun-Xiang

- 010704 Research progress of super-continuum terahertz source based on nano-structures and terahertz lab on-chip system
Zuo Jian Zhang Liang-Liang Gong Chen Zhang Cun-Lin

- 018102 Recent progress of two-dimensional layered molybdenum disulfide

Gu Pin-Chao Zhang Kai-Liang Feng Yu-Lin Wang Fang Miao Yin-Ping Han Ye-Mei Zhang Han-Xia

GENERAL

- 010501 Multi-scale cross-correlation characteristics of void fraction wave propagation for gas-liquid two-phase flows in small diameter pipe

Zhai Lu-Sheng Jin Ning-De

- 010502 A car-following model with the consideration of vehicle-to-vehicle communication technology

Hua Xue-Dong Wang Wei Wang Hao

- 010701 InSb based subwavelength array for terahertz wave focusing

Gu Wen-Hao Chang Sheng-Jiang Fan Fei Zhang Xuan-Zhou

- 010703 X-ray focusing optics and its application in X-ray communication system

Liu Duo Qiang Peng-Fei Li Lin-Sen Su Tong Sheng Li-Zhi Liu Yong-An Zhao Bao-Sheng

ELECTROMAGNETISM, OPTICS, ACOUSTICS, HEAT TRANSFER, CLASSICAL MECHANICS, AND FLUID DYNAMICS

- 014101 High frequency characteristics of dielectric-loaded grating for terahertz Smith-Purcell radiation

Cao Miao-Miao Liu Wen-Xin Wang Yong Zhu Jue-Yuan Li Ke

- 014201 Phase correction method based on interfacial signal in swept source optical coherence tomography

Pan Cong Guo Li Shen Yi Yan Xue-Guo Ding Zhi-Hua Li Peng

- 014202 Spectral Stokes singularities of partially coherent edge dislocation beams

Zheng Shang-Bin Tang Bi-Hua Jiang Yun-Hai Luo Ya-Mei Gao Zeng-Hui

- 014203 Atmospheric polarization pattern simulation for small solar elevation angles and the analysis of atmospheric effect

Hu Shuai Gao Tai-Chang Li Hao Cheng Tian-Ji Liu Lei Huang Wei Jiang Shi-Yang

(Continued)

- 014204 **Experimental study on three-dimensional ptychography for thick sample**
Pan An Zhang Xiao-Fei Wang Bin Zhao Qing Shi Yi-Shi
- 014205 **Experimental study of the effects of two-photon detuning on slow light and light memory**
Yan Yan Li Shu-Jing Tian Long Wang Hai
- 014206 **Adaptive optics correction technique based on fuzzy control**
Liu Zhang-Wen Li Zheng-Dong Zhou Zhi-Qiang Yuan Xue-Wen
- 014207 **Theoretical and experimental investigation on the narrow-linewidth photonic microwave generation based on parallel polarized optically injected 1550 nm vertical-cavity surface-emitting laser**
Sun Bo Wu Jia-Gui Wang Shun-Tian Wu Zheng-Mao Xia Guang-Qiong
- 014208 **Propagation of electric field of the few-cycle femtosecond pulse in nonlinear Kerr medium**
Liu Dan Hong Wei-Yi Guo Qi
- 014209 **Sensitive detection of ultra-weak infrared image using parametric frequency up-conversion and amplification**
Zhang Teng-Fei Yang Jing Hou Yan-Xue Wang Wei-Wei Zhao Wei Zhang Jing-Yuan Cui Da-Fu Peng Qin-Jun Xu Zu-Yan
- 014210 **Investigation of detecting biological aerosol by passive Fourier transform infrared spectroscopy technology based on MODTRAN model**
Feng Ming-Chun Xu Liang Liu Wen-Qing Liu Jian-Guo Gao Min-Guang Wei Xiu-Li
- 014211 **Synthesis, structure and spectroscopic properties of Nd³⁺:SrY₂O₄ phosphor**
Peng Fang Zhang Qing-Li Wang Xiao-Fei Zhang Hui-Li Ding Shou-Jun Liu Wen-Peng Luo Jian-Qiao Sun Dun-Lu Sun Gui-Hua
- 014212 **First-principles study on the electronic structures and optical properties of Cu, Fe doped LiNbO₃ crystals**
Zhao Bai-Qiang Zhang Yun Qiu Xiao-Yan Wang Xue-Wei
- 014213 **Tunable near-zero index of self-assembled photonic crystal using magnetic fluid**
Geng Tao Wu Na Dong Xiang-Mei Gao Xiu-Min
- 014214 **Photonic bandgap compensation and extension for hybrid quasiperiodic heterostructures**
Zou Jun-Hui Zhang Juan
- 014215 **Tunable array beam splitter with different domain-etching depth based on MgO-doped lithium niobate crystal**
Tong Man Fan Tian-Wei Chen Yun-Lin
- 014301 **Volume pulsation and scattering of bubbles under the second Bjerknes force**
Ma Yan Lin Shu-Yu Xian Xiao-Jun
- 014302 **Cyclic shift keying spread spectrum underwater acoustic communication using time reversal energy detector**
Du Peng-Yu Yin Jing-Wei Zhou Huan-Ling Guo Long-Xiang
- 014303 **Sound propagation in deep water with a sloping bottom**
Hu Zhi-Guo Li Zheng-Lin Zhang Ren-He Ren Yun Qin Ji-Xing He Li

(Continued)

- 014304 **An improved Mach-Zehnder acousto-optic modulator on a silicon-on-insulator platform**
Qin Chen Yu Hui Ye Qiao-Bo Wei Huan Jiang Xiao-Qing
- 014305 **Investigation of underwater sound scattering on a cylindrical shell coated with anechoic coatings by the finite element method based on an equivalent parameter inversion**
Jin Guo-Liang Yin Jian-Fei Wen Ji-Hong Wen Xi-Sen
- 014501 **Synchronous behavior of a rotor-pendulum system**
Fang Pan Hou Yong-Jun Zhang Li-Ping Du Ming-Jun Zhang Meng-Yuan
- 014502 **Experimental study of clustering behaviors in granular gases**
Wang Hua Chen Qiong Wang Wen-Guang Hou Mei-Ying
- 014701 **Reduced order model analysis method via proper orthogonal decomposition for variable coefficient of transient heat conduction based on boundary element method**
Hu Jin-Xiu Gao Xiao-Wei
- 014702 **A coupled lattice Boltzmann model for fluid flow and diffusion in a porous medium**
Liu Gao-Jie Guo Zhao-Li Shi Bao-Chang
- 014703 **Simulation of micro flow in the transition regime using effective-viscosity-based multi-relaxation-time lattice Boltzmann model**
Wang Zuo Liu Yan Zhang Jia-Zhong
- 014704 **An experimental study of water-entry cavitating flows of an end-closed cylindrical shell based on the high-speed imaging technology**
Lu Zhong-Lei Wei Ying-Jie Wang Cong Sun Zhao

PHYSICS OF GASES, PLASMAS, AND ELECTRIC DISCHARGES

- 015201 **Gain characteristics of grapheme plasma in terahertz range**
Li Dan Liu Yong Wang Huai-Xing Xiao Long-Sheng Ling Fu-Ri Yao Jian-Quan
- 015202 **Experimental study on improving hohlraum wall reemission ratio by low density gold foam**
Zhang Lu Dong Yun-Song Jing Long-Fei Lin Zhi-Wei Tan Xiu-Lan Kuang Long-Yu Li Hang Shang Wan-Li Zhang Wen-Hai Li Zhi-Chao Zhan Xia-Yu Yuan Guang-Hui Li Hai Jiang Shao-En Yang Jia-Min Ding Yong-Kun
- 015203 **Experimental investigation on the electrical explosion of single aluminum wire in vacuum**
Wang Kun Shi Zong-Qian Shi Yuan-Jie Bai Jun Li Yang Wu Zi-Qian Qiu Ai-Ci Jia Shen-Li

CONDENSED MATTER: STRUCTURAL, MECHANICAL, AND THERMAL PROPERTIES

- 016101 **Electromagnetic properties of zigzag graphene nanoribbons with single-row line defect**
Zhang Hua-Lin Sun Lin Wang Ding
- 016801 **Analyses of droplet spreading and the movement of wetting line on a solid surface**
Jiao Yun-Long Liu Xiao-Jun Pang Ming-Hua Liu Kun

(Continued)

016802 **Growths of Fe-doped GaN high-resistivity buffer layers for AlGaN/GaN high electron mobility transistor devices**

*Wang Kai Xing Yan-Hui Han Jun Zhao Kang-Kang Guo Li-Jian Yu Bao-Ning
Deng Xu-Guang Fan Ya-Ming Zhang Bao-Shun*

**CONDENSED MATTER: ELECTRONIC STRUCTURE, ELECTRICAL,
MAGNETIC, AND OPTICAL PROPERTIES**

017401 **Preparation, microstructure of B film and its applications in MgB₂ superconducting Josephson junction**

Wang Song Wang Xing-Yun Zhou Zhang-Yu Yang Fa-Shun Yang Jian Fu Xing-Hua

INTERDISCIPLINARY PHYSICS AND RELATED AREAS OF SCIENCE AND TECHNOLOGY

018101 **Tunable terahertz absorber based on complementary graphene meta-surface**

*Zhang Hui-Yun Huang Xiao-Yan Chen Qi Ding Chun-Feng Li Tong-Tong Lü Huan-Huan
Xu Shi-Lin Zhang Xiao Zhang Yu-Ping Yao Jian-Quan*

018103 **Tribological behavior of reciprocating motion between ferromagnetic films coated with polymethylmethacrylate films under magnetic field**

Li Lü-Zhou Jiang Ji-Le Wei Rong-Han Li Jun-Peng Tian Yu Ding Jian-Ning

018201 **Density functional study on the adsorption characteristics of O, O₂, OH, and OOH of B-, P-doped, and B, P codoped graphenes**

Sun Jian-Ping Zhou Ke-Liang Liang Xiao-Dong

018501 **Double ellipsoid model for conductivity effective mass along [110] orientation in (100) Si-based strained p-channel metal-oxide-semiconductor**

*Song Jian-Jun Bao Wen-Tao Zhang Jing Tang Zhao-Huan Tan Kai-Zhou Cui Wei
Hu Hui-Yong Zhang He-Ming*

018502 **Dynamic properties of a small-size streak tube**

Hui Dan-Dan Tian Jin-Shou Wang Jun-Feng Lu Yu Wen Wen-Long Xu Xiang-Yan

公 告

为实现录用稿件的提前在线全文出版,我刊采用单篇论文给定编码的目录方案,编码的设定规则是:期号+文章第一个PACS代码的前两位数字+序号(按同一类代码文章录用时间的先后排序).

《物理学报》已加入“中国知网”优先数字出版,录用文章将先于印刷版期刊在中国知网 www.cnki.net 在线优先发布,如果作者不愿优先出版可在版权协议里补充说明,如无补充说明,编辑部将视为同意授权.

《物理学报》编辑部

物理 学 报 (WULIXUEBAO)

(半月刊, 1933 年创刊)

2016 年 1 月 第 65 卷 第 1 期

版 权 所 有

ACTA PHYSICA SINICA

(Semimonthly, First Published in 1933)

Vol. 65 No. 1 January 2016

© 2016 Chinese Physical Society

编 辑 物 理 学 报 编 辑 部
(北京 603 信箱 邮政编码 100190)
主 编 欧 阳 钟 灿
主 管 中 国 科 学 院
主 办 中 国 物 理 学 会
中 国 科 学 院 物 理 研 究 所
(北京 603 信箱 邮政编码 100190)
出 版 中 国 物 理 学 会
印 刷 装 订 北京 科 信 印 刷 有 限 公 司
总 发 行 处 北京 报 刊 发 行 局
订 购 处 全 国 各 邮 电 局
国 外 总 发 行 处 中国 国 际 图 书 贸 易 总 公 司
(北京 399 信箱 邮政编码 100044)
广 告 经 营 许 可 证 京 海 工 商 广 字 第 0335 号

Edited by the Editorial Office of
ACTA PHYSICA SINICA
Editor-in-Chief: Ouyang Zhong-Can
Published by Chinese Physical Society
and Institute of Physics,
Chinese Academy of Sciences
Distributed by China International
Book Trading Corporation
P.O. Box 399, Beijing 100044, China
Editorial Office:
P.O. Box 603, Beijing 100190, China
E-mail: apsoffice@iphy.ac.cn
<http://wulixb.iphy.ac.cn>

ISSN 1000-3290

国内邮发代号: 2-425

国内统一刊号: CN11-1958/O4

国外发行代号: M52 定价: 120 元

公 开 发 行